



ელექტრონებით დასხივების გავლენა მონოკრისტალური $p\text{-Si+2a\%Ge}$ შენადნობის ინდენტირებით ინდუცირებული დეფორმაციის მახასიათებლებზე

გიორგი დარსაველიძე, კახაბერი შამათავა, ავთანდილ სიჭინავა, ია ყურაშვილი, მარინა ქადარია

სოხუმის ილია ვეკუას ფიზიკა ტექნიკის ინსტიტუტი, თბილისი, საქართველო

აბსტრაქტი.

შესწავლით 12 მევ ენერგიის ელექტრონებით დასხივებული p -ტიპის მონოკრისტალური $Si+2a\%Ge$ შენადნობის მიკრონდენტირების მახასიათებლების ცვლილებათა კანონზომიერებანი ვიკერსის ინდენტორზე მოდებული დატვირთვის 100-1250 მნ დიაპაზონში. საცდელი ნიმუშების (111) კრისტალოგრაფიული ორიენტაციის სიბრტყეები ხასიათდებიან დისლოკაციების არაერთგვაროვანი განაწილებითა და სიმკვრივით $1 \cdot 10^4 - 5 \cdot 10^4 \text{ სმ}^{-2}$. კრისტალიზაციისა და მექანიკური პოლირების პროცესებში ჩასახული დისლოკაციების სიმრავლეები გავლენას ახდენენ რადიაციული დეფექტების ტიპებსა, კონცენტრაციასა და ურთიერთგვარდაქმნის პირობებზე. აღნიშნული, რთული ხასიათის ცვლილებები დეფექტების ქვესისტემაში თავისებურად არიან ასახული სტრუქტურულად-მგრძნობიარე მექანიკურ თვისებებში, კერძოდ მიკროსისალესა და დრეკადობის მოდულში. ისინი მკაფიოდ არიან გამოვლენილი ინდენტირების ანაბეჭდების ფორმისა და ზომების, მათთან დაკავშირებული ბზარების ცვლილებებში. ინდენტირებით ინდუცირებული სტრუქტურული ცვლილებების საფუძველზე განისაზღვრა ბზარების წარმოქმნისა და სტრუქტურის რღვევის მახასიათებლები და გაანალიზებულია დისლოკაციური სტრუქტურის, Ge-ს ატომებთან ლოკალიზებული ძაბვებისა და რადიაციული დეფექტების წვლილი საცდელი $p\text{-Si+2a\%Ge}$ შენადნობის დეფორმაციაში.

საკვანძო სიტყვები: SiGe შენადნობი, მიკროსისალე, დრეკადობის მოდული, ელექტრონებით დასხივება, რღვევა, ბზარმედეგობა.

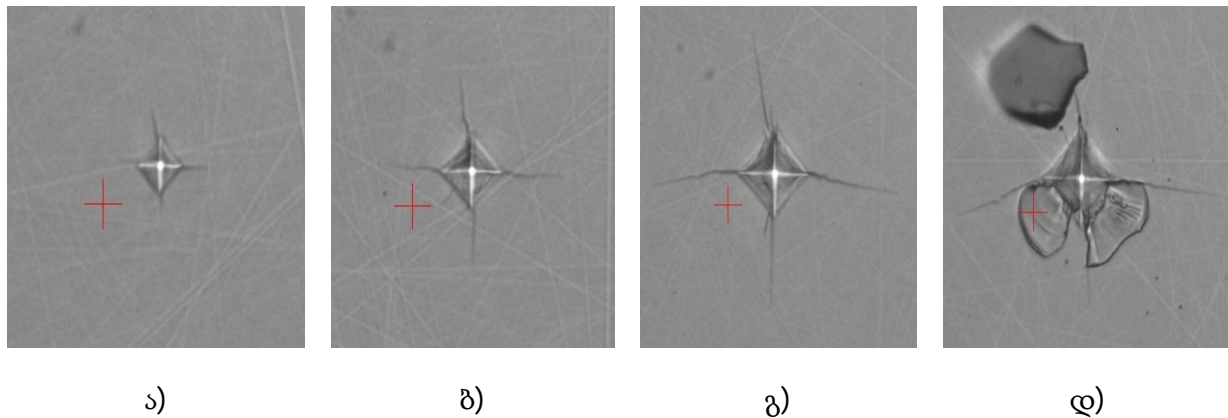
ჩოხრალსკის მეთოდით მიღებული SiGe შენადნობის მოცულობითი კრისტალები ხასიათდებიან დრეკადობის მოდულის წრფივი შემცირებით $\text{Ge}-\text{S}$ კონცენტრაციის გაზრდით, რაც დაკავშირებულია მესრის პარამეტრის ზრდასა და, შესაბამისად, ატომთაშორისის კავშირის ძალების შესუსტებასთან [1]. მიუხედავად ამისა, ინდენტირების მეთოდით შეფასება იძლევა საკვლევი $\text{Si}+2\alpha\%$ Ge შენადნობის დრეკადობის მოდულის ამაღლებულ სიდიდეებს როგორც ნიმუშის საწყის, ასევე მაღალი ენერგიის ელექტრონებით დასხივებულ მდგომარეობაში. დრეკადობის მოდულის ანალოგიური ამაღლება ფიქსირებულია $\text{Ge}-\text{S}$ ერთი რიგით დაბალი კონცენტრაციის SiGe შენადნობებში [2]. ამავე ნაშრომში შემოთავაზებულია დრეკადობის მოდულის ამაღლების შესაძლებელი მექანიზმი. ინდენტორის დატვირთვის ეტაპზე Si-I ფაზის გარკვეული ნაწილი შესაძლებელია გარდაიქმნას Si-II მეტალურ ფაზად, რომელსაც ახასიათებს დრეკადობის მოდულის მაღალი სიდიდე-304 გპა [3]. აღნიშნული მონაცემების საფუძველზე ნავარაუდევია [2], რომ Ge -ით დოპირება ასტიმულირებს მეტი რაოდენობით, ახალი Si-II ფაზის ფორმირებას.

$\text{Ge}-\text{S}$ მაღალი კონცენტრაცია მნიშვნელოვნად ამცირებს ტექნოლოგიური 0 მინარევის კონცენტრაციას SiGe შენადნობის კრისტალურ მესერში [4]. შესაბამისად $\text{Ge}-\text{S}$ ატომებთან კონცენტრირებული ძაბვების ველში მოსალოდნელია მინარევებისაგან გაღარიბებული დისლოკაციური სტრუქტურის ფორმირება როგორც მოცულობაში, ასევე დისლოკაციური წარმოშობის ბლოკების გამყოფ საზღვარზე. ასეთ პირობებში მოსალოდნელია მექანიკური მახასიათებლების (დრეკადობის მოდული, მიკროსისალე) შემცირება და ინდენტირებით სტიმულირებული $\text{Si-I}\rightarrow\text{Si-II}$ ფაზური გარდაქმნის პროცესთან დაკავშირებული მექანიკური სიმტკიცის გაუმჯობესება [5]. მაღალენერგეტიკული ელექტრონებით დასხივების პროცესში დისლოკაციები ეფექტურად მუხრუჭდებიან რადიაციული წერტილოვანი დეფექტებით გამდიდრებულ კოტრელის ატმოსფეროში, რასაც შეუძლია ასევე მასალის მექანიკური განმტკიცება [6].

ნაშრომში წარმოდგენილია საწყისი და მაღალენერგეტიკული ელექტრონებით დასხივებულ მდგომარეობაში ჩოხრალსკის მეთოდით მიღებული მონოკრისტალური $\text{P}-\text{T}$ იპის SiGe შენადნობის ორმხრივ პოლირებული ფუძეშრეების ბზარმედეგობის შესწავლის შედეგები.

(111) კრისტალოგრაფიული ორიენტაციის სიბრტყეებზე მეტალოგრაფიული კვლევა განხორციელდა ოპტიკურ მიკროსკოპზე NMM-80RF/TRF, ხოლო ელექტროფიზიკური მახასიათებლები (კუთრი ელექტროწინაღობა, ხვრელების კონცენტრაცია, ძვრადობა) განისაზღვრა ჰოლის ეფექტის გაზომვით ვან დერ პაუს მეთოდით Ecopia HMS-3000 დანადგარზე. ინდენტირების ფიზიკური მახასიათებლები (მიკროსისალე, დრეკადობის მოდული, ანაბეჭდების ზომები და ფორმა) შესწავლილი იქნა ვიკერსის მეთოდით შიმაძუს სისტემის DUH-211S ტესტერზე. მაღალენერგეტიკული ელექტრონებით 12 მევ დასხივება განხორციელდა Varian-ის სისტემის clinac-2100 iX დანადგარზე. დასხივების ფლუენსი - $8 \cdot 10^{13}$ სტ².

საწყის მდგომარეობაში საკვლევი ნიმუშის კუთრი ელექტროწინაღობა $10\text{მმ} \cdot \text{სმ-1}$ შესაბამისად, დენის მატარებლების კონცენტრაცია $\sim 10^{15} \text{ სმ}^{-3}$ რიგისაა და ის ატომთაშორისი კავშირის ძალებზე უმნიშვნელო გავლენას ახდენს. მათზე მნიშვნელოვან გავლენას ახდენს დიდი ატომური რადიუსის გერმანიუმით ლეგირება $2\text{ატ}\% \cdot \text{მდე}$. ასეთ პირობებში სილიციუმ-გერმანიუმის შენადნობის კრისტალურ მესერში ფორმირდება მაღალი ინტენსივობის, ურთიერთზედდებული დეფორმაციის ველები და სტრუქტურაში წარმოიქმნება სხვადასხვა ზომის ბლოკებით შედგენილი უჯრედოვანი დისლოკაციური სტრუქტურა. ბლოკები ხასიათდებიან გერმანიუმის განსხვავებული კონცენტრაციითა და დისლოკაციების მაღალი სიმკვრივით ბლოკების გამყოფ საზღვრებზე. საცდელი ნიმუშების (111) ორიენტაციის სიბრტყეებზე არათანაბრად განაწილებული დისლოკაციების სიმკვრივე იცვლება $1 \cdot 10^4 \text{--} 5 \cdot 10^4 \text{ სმ}^{-2}$ საზღვრებში.



(ნახ. 1) $\text{Si}+2\text{ატ}\%\text{Ge}$ შენადნობის (111) ორიენტაციის ნიმუშის ინდენტირების ინდენტირების ანაბეჭდების ოპტიკური მიკროფოტოგრაფიები ვიკერსის ინდენტორზე სხვადასხვა მაქსიმალურ დატვირთვაზე:

ა)250 მნ, ბ)500 მნ, გ)1000 მნ, დ)1250 მნ.

მაღალენერგეტიკული ელექტრონებით დასხივების პროცესში წარმოიქმნება წერტილოვანი რადიაციული დეფექტების, ვაკანსია-ჩანერგილი $\text{Si}(\text{Ge})$ ატომების ე.წ. ფრენკელის წყვილები. მათი თერმული მდგრადობა ოთახის ტემპერატურაზე მინიმალურია, რის გამო მაღლდება ტექნოლოგიურ მინარევებთან (O, C) კომპლექსების წარმოქმნის ალბათობა. პირველადი რადიაციული დეფექტების არსებობის ხანგრძლივობასა და კომპლექსებში გაერთიანებას არეგულირებენ დიდი ატომური რადიუსის Ge -ს ატომებთან SiGe -ს კრისტალურ მესერში კონცენტრირებული ძაბვები. ამავე დროს იცვლება სტრუქტურაში ელექტრონებით დასხივებამდე არსებული დისლოკაციების მოძრაობის დამამუხრუჭებელი ატმოსფეროების კონცენტრაცია, დისლოკაციებზე სტატისტიკურად განაწილებული მერხევი სეგმენტების ძვრადობა და მიკროპლასტიკური დეფორმაციის განვითარების შესაძლებლობები. აღნიშნული ფაქტორების რეალიზაცია წარმოქმნის საცდელი SiGe შენადნობის მაღალ მაქსიმალურ დატვირთვებზე ინდენტირების პროცესებში დრეკადი და პლასტიკური დეფორმაციისა და ბზარების ფორმირების ახალ პირობებს, რაც შესაძლებელია დადგინდეს

მაღალ დატვირთვებზე ინდენტირების აღდგენილი ანაბეჭდების ცვლილებათა კანონზომიერების შესწავლით.

(ნახ.1)-ზე წარმოდგენილია $Si+2\alpha\%Ge$ შენადნობის პოლირებული ფირფიტის (111) ორიენტაციის ზედაპირზე ინდენტორის სხვადასხვა სიდიდის მაქსიმალური დატვირთვით სტიმულირებული აღდგენილი ანაბეჭდების გამოსახულებები.

$Si+2\alpha\%Ge$ შენადნობის საცდელი ნიმუშის ინდენტირების დაბალ მაქსიმალურ დატვირთვებზე, ნარჩენი ანაბეჭდების კუთხეებთან შეინიშნება მხოლოდ წრფივი რადიალური ბზარები. მაღალ მაქსიმალურ დატვირთვებზე რადიალური ბზარების სიგრძე იზრდება, ზოგჯერ შეინიშნება მათი გავრცელების ძირითადი მიმართულებიდან გადახრა, აგრეთვე ბზარის ნაკვალევზე ღუნვებისა და საფეხურების წარმოქმნა. მაღალ დატვირთვებზე ანაბეჭდების ზონაში იზრდება მცირე ზომის ნამსხვრევების რაოდენობა. მაღალი ელექტრონებით დასხივებულ მდგომარეობაში ფიქსირებულია აგრეთვე პლასტიკური და რღვევის დეფორმაციების ბზარების ნაკვალევის რთული რელიეფი. ინდენტორზე მოდებული მაღალი მაქსიმალური დატვირთვები ანვითარებენ ინტენსიურ გარეშე ძაბვებს, რომლებიც ჭარბია $Ge-S$ ატომებსა და რადიაციულ დეფექტებთან ლოკალიზებულ ძაბვებზე. ძირითადად მაღალი ინტენსივობის გარეშე ძაბვები აკონტროლებენ პლასტიკურ-მყიფე დეფორმაციის რთულ პროცესებს, რომლებშიაც უმნიშვნელოა ელექტრონების რადიაციისა და Ge -ით ლეგირების გავლენა.

რადიალური ბზარების სიგრძის, დრეკადობის მოდულისა და მიკროსისალის გაზომვების საფუძველზე შეფასებულ იქნა ბლანტი რღვევის კოეფიციენტი (ბზარწარმოქმნისადმი მედეგობა) K_{IC} და γ - რღვევის ეფექტური ენერგია

$$K_{IC} = 0.0116 \left(\frac{E}{H} \right)^{1/2} \cdot \frac{P}{L^{3/2}}, \quad \gamma = \frac{K_{IC}^2}{2E},$$

სადაც E - დრეკადობის მოდულია, H - მიკროსისალე, L - ბზარის სიგრძე.

ცხრ. 1-ში წარმოდგენილია P - $Si+2\alpha\%Ge$ შენადნობის ინდენტირების პროცესებში მექანიკური მახასიათებლების ცვლილებათა კანონზომიერებანი.

ცხრილი.1

ინდენტორზე დატვირთვა, მნ	ნიმუში, Si+2ატ%Ge	დრეკადობის მოდული, გპა	მიკროსისალე, გპა	ბზარის სიგრძე, მკმ	ბლანტი რღვევის კოეფიციენტი მპა, გ ^{1/2}	რღვევის ეფექტური ენერგია, კა.გ.
100	საწყისი a	187.1	9.3	3	1.379	5.08
	ელ. დასხი- ვებული b	212.9	9.91	3	1.427	4.78
250	საწყისი a	185.8	9.07	6	1.231	4.08
	ელ. დასხი- ვებული b	199.5	9.67	5.75	1.236	3.83
500	საწყისი a	168.6	8.4	10	1.133	3.80
	ელ. დასხი- ვებული b	188.1	8.87	10	1.210	3.89
750	საწყისი a	-	-	-	-	-
	ელ. დასხი- ვებული b	176.5	8.32	13.25	1.143	3.70
1000	საწყისი a	164.5	8.35	18	0.934	2.65
	ელ. დასხი- ვებული b	170.0	8.02	18	0.961	2.72
1250	საწყისი a	162.7	7.83	21.5	0.913	2.56
	ელ. დასხი- ვებული b	168.0	7.68	22	0.906	2.44

a – საწყისი მდგომარეობა, b – ელექტრონებით დასხივებული

Si+2ატ%Ge ნიმუშების მაღალ დატვირთვებზე ინდენტირების ანაბეჭდებზე ფიქსირებული ბზარების ზიგზაგისებური ფორმა განპირობებულია მაღალი ინტენსივობის პლასტიკური და მყიფე რღვევის დეფორმაციით კრისტალის მოცულობაში. მაბვების სივრცული განაწილების სპეციფიკურ შემთხვევებში ბზარი გავრცელების პროცესში შესაძლებელია გადაიხაროს მაქსიმალური გაჭიმვის ძაბვების სიბრტყიდან და გავრცელდეს რღვევისადმი დაბალი წინააღმდეგობის სიბრტყეზე. ცნობილია [7], რომ ბზარი შესაძლებელია გავრცელდეს მაღალი კრისტალოგრაფიული ინდექსებიან სიბრტყეზე. ამავე ნაშრომის ავტორთა მოსაზრებით თუ

ვიკერსის ინდენტორის დიაგონალი მიმართული იქნება (001) ან (110) ორიენტაციით, მაშინ ბზარი შესაძლებელია გავრცელდეს (110) სიბრტყეზე და წარმოქმნას a/3 <111> დისლოკაციური მარყუჟები.

ექსპერიმენტულმა გაზომვებმა აჩვენეს ~ 8^{13}Sm^2 ფლუენსის მაღალენერგეტიკული ელექტრონების დასხივებული P-ტიპის Si+2ატ%Ge შენადნობის დრეკადობის მოდულისა და მიკროსისალის სუსტი მატება ვიკერსის ინდენტორზე მოდებული მაქსიმალური დატვირთვის 100-1250 მნ დიაპაზონში. საწყისი და ელექტრონებით დასხივებული Si+2ატ%Ge შენადნობის ინდენტირების დრეკადობის მოდულისა და მიკროსისალის შედარებითი მეტად ამაღლება განპირობებულია ინდენტირების პროცესში გაზრდილი რაოდენობით მეტალური Si-II ფაზის ფორმირებით ინდენტორის წვეროსა და მატრიცის გამყოფ საზღვარზე. მაღალი მექანიკური თვისებების მეტალური Si-II ფაზის გავლენა შენადნობის სტრუქტურულად-მგრძნობიარე ფიზიკურ-მექანიკურ თვისებებზე მნიშვნელოვნად მცირდება ინდენტორზე მოდებული მაღალი დატვირთვის პირობებში, როდესაც მიმდინარეობს ნიმუშის მოცულობაში ინტენსიური პლასტიკური და მყიფე რღვევის პროცესები.

Ge-ით ლეგირებული Si-ის დრეკადობის მოდული და მოკროსისალე n-Si-თან შედარებით მაღალი სიდიდეებით ხასიათდებიან, რაც განპირობებულია ინდენტირების პროცესებში გაზრდილი რაოდენობით მაღალი სიმტკიცის β-კალის მოდიფიკაციის SiGe-II ფაზის წარმოქმნით. საცდელ P-SiGe შენადნობში მცირდება ბზარების წარმოქმნისადმი მედეგობა. ასეთ მდგომარეობაში მაღალენერგეტიკული ელექტრონებით დასხივება სუსტად ზრდის ბლანტი რღვევის კოეფიციენტისა და რღვევის ეფექტური ენერგიის მნიშვნელობებს.

ლიტერატურა

1. F.Schaffler. Properties of Advanced Semiconductor Materials GaN, AlN, JnN, SiC, SiGe. John Wiley and Sons, New York, 2001
2. Z.Zeng, L.Wang, X.Ma, Sh.Qu, J.Chen, Y.Liu, D.Yang. J.Scripta Materiala, 64, (2011), 832-835
3. T.Kiriyama, H.Harada, J.W.Yan.J.Semiconductor Science Technology, 24, (2009), 025014.
4. L.I.Khirunenko, Yu.V.Pomozov, M.G.Sosnin, V.K.Shinkarenko, Oxygen in silicon doped with isovalent impurities, J.Physica B: Condensed Matter, Vol.273-274, (1999), p.317-321.
5. I.Yonenaga, T.Taishi, X.Huang, and K.Hoshikaura, Dynamic characteristics of dislocations in Ge-doped and (Ge+B) codoped silicon, J.Appl. Phys. 93, Issue 1, (2003), p.265-269.
6. N.A.Sobolev, Radiation effects in Si-Ge quantum size structure (Review), J.Semiconductors 47, (2013), p.217–227.
7. F.Ebrahimi,L.Kalwani, J.Materials Science and Engineering, A268, (1999), 116-126.

Effect of electron irradiation on monocrystalline p-Si+2at%Ge alloy on the characteristics of indentation-induced deformation

Giorgi Darsavelidze, Kakhaberi Shamatava, Avtandil Sichinava, Ia Kurashvili, Marina Kadaria,

Ilia Vekua Sukhumi Institute of Physics and Technology

Abstract. The regularities of changes in the microindentation characteristics of the p-type monocrystalline Si+2at%Ge alloy irradiated with 12 MeV electrons in the range of 100-1250 mN of the load applied to the Vickers indenter have been studied. The (111) crystallographic orientation planes of the test samples are characterized by a non-uniform distribution of dislocations and a density of $1 \cdot 10^4 - 5 \cdot 10^4 \text{ cm}^{-2}$. The abundances of dislocations embedded in the crystallization and mechanical polishing processes affect the types, concentrations, and interconversion conditions of radiation defects. The above-mentioned complex changes in the defects subsystem are reflected in structurally sensitive mechanical properties, in particular in the micro-hardness and the modulus of elasticity. They are clearly identified in the changes in the shape and size of the indentation prints and the cracks associated with them. Based on the mentioned structural changes, the characteristics of indentation-induced crack formation and structure fracture were determined, and the contribution of the dislocation structure, localized stresses near Ge atoms, and radiation defects to the indentation-induced deformation of the experimental p-Si+2at%Ge alloy was analyzed.

Key words: SiGe alloy, microhardness, modulus of elasticity, electron irradiation, rupture, cracking.